

Fig. 1

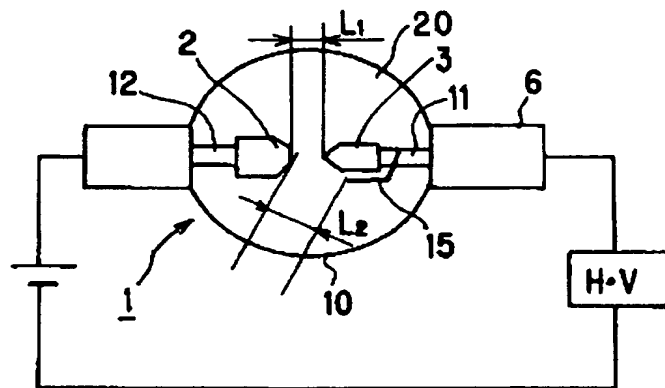


Fig. 2

H·V Side

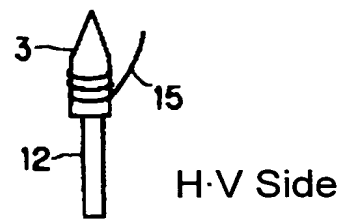
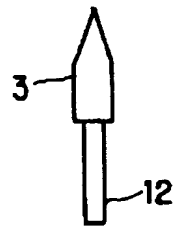
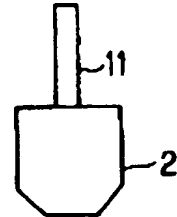
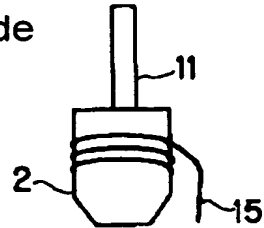


Fig. 3(a)

Fig. 3(b)

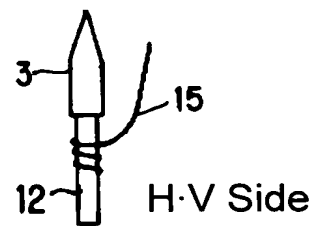
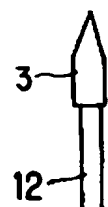
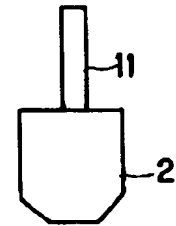
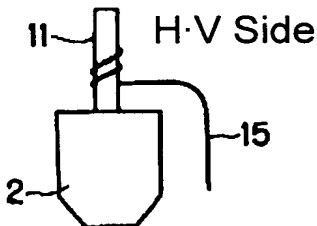


Fig. 4(a)

Fig. 4(b)

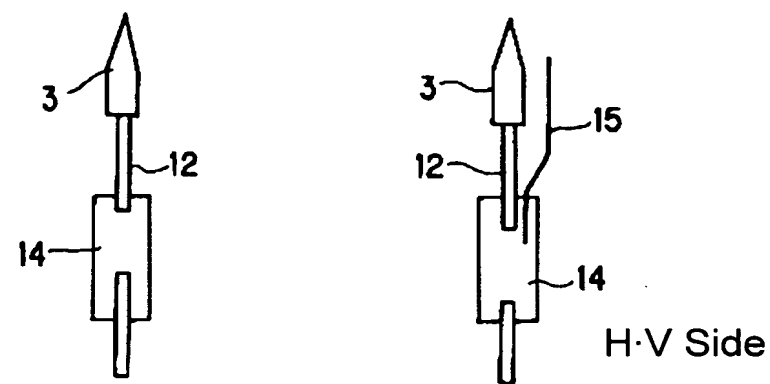
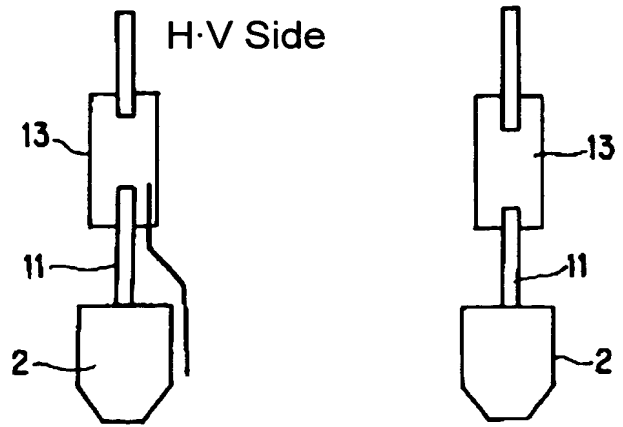


Fig. 5(a)

Fig. 5(b)

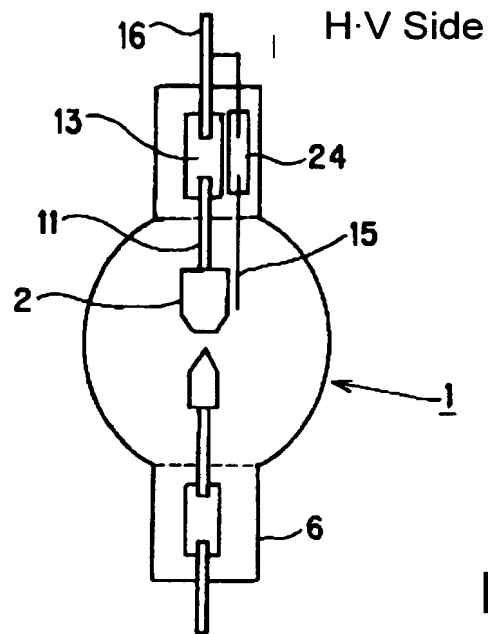


Fig. 6

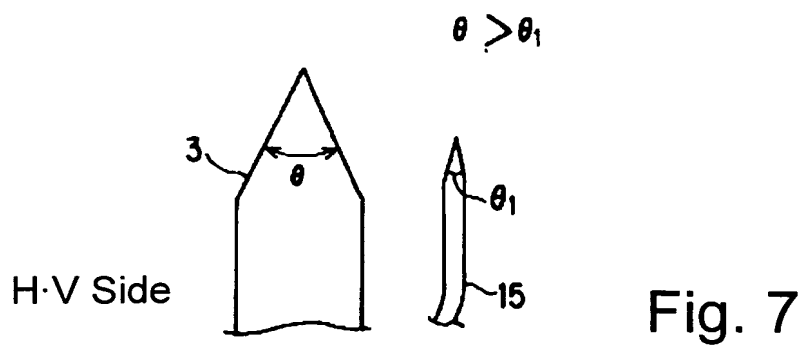
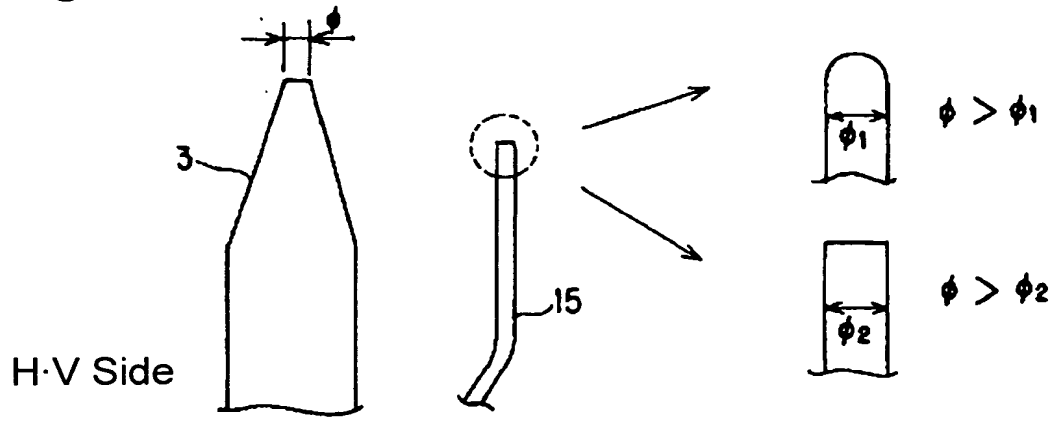


Fig. 7

Fig. 8



H·V Side

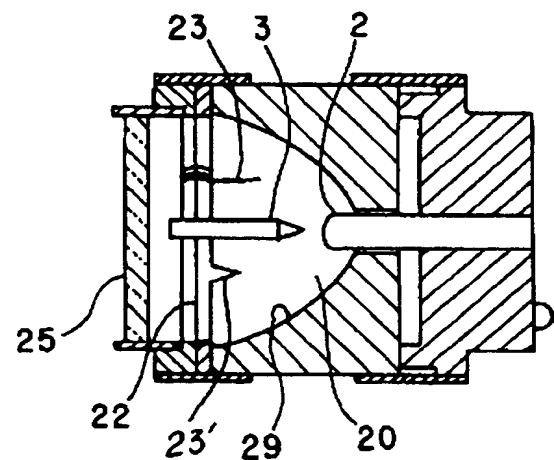


Fig. 9

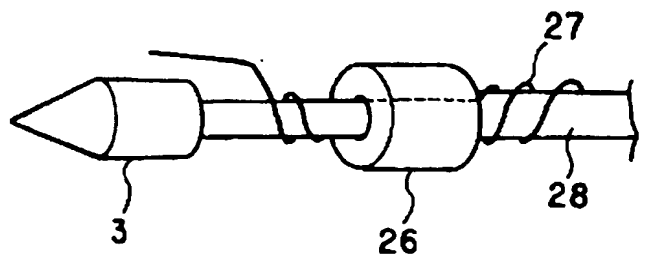


Fig. 10(a)

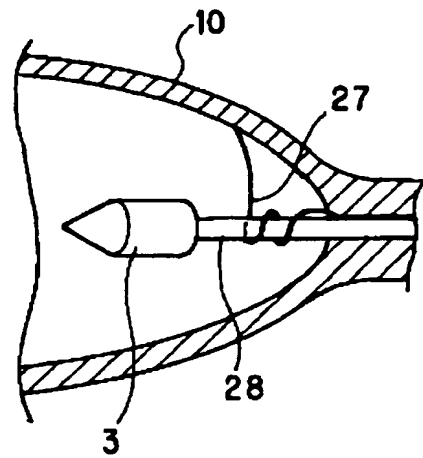


Fig. 10(b)

Fig. 11 (Prior Art)

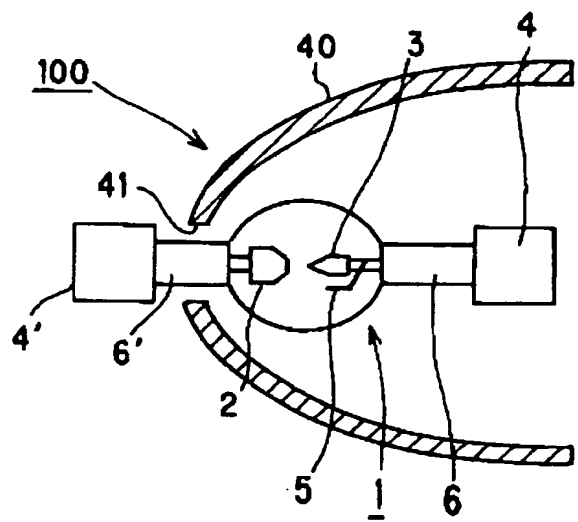
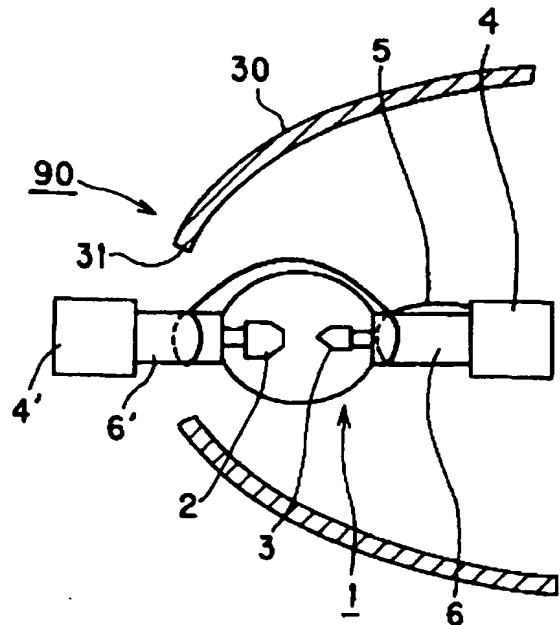


Fig. 12

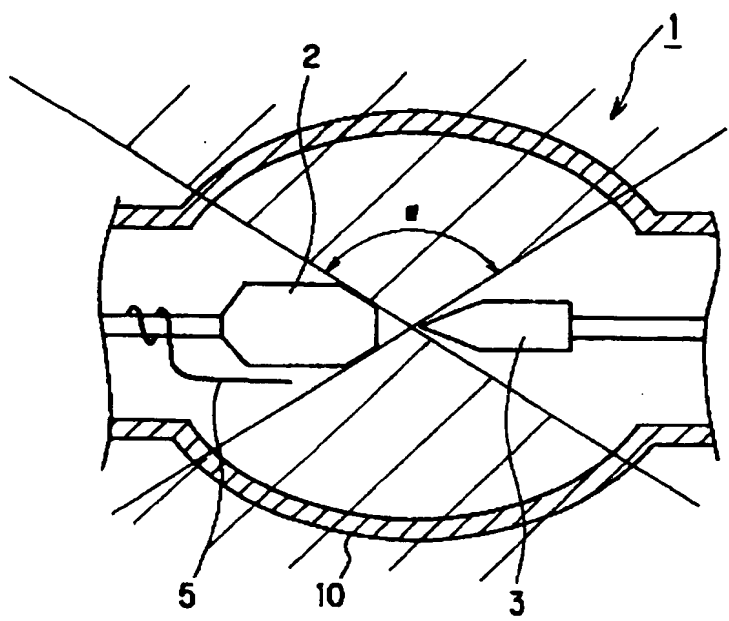


Fig. 13